

東京(国立公衆衛生院、1999年11月5日~12日)

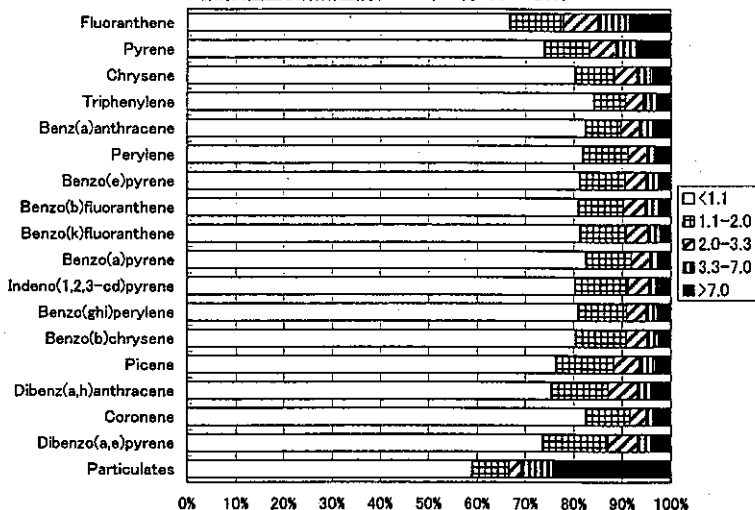


図1(1)

大気浮遊粒子に含まれるPAHの粒径分布
(東京)

川崎(日環センター、1999年11月25日~12月2日)

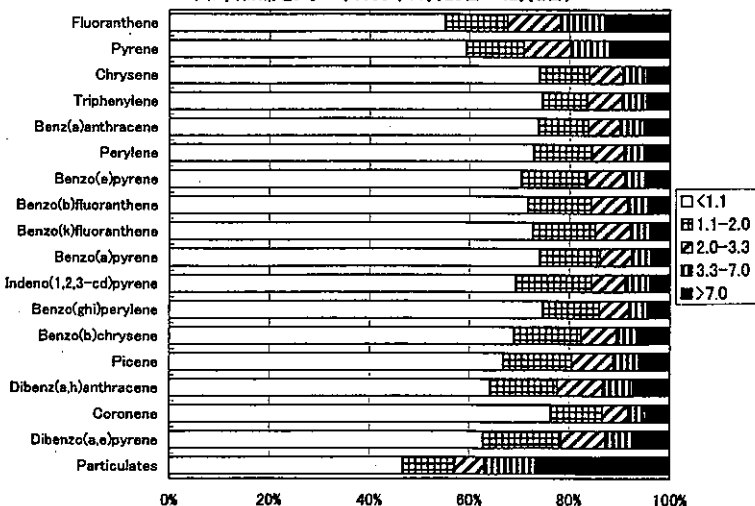
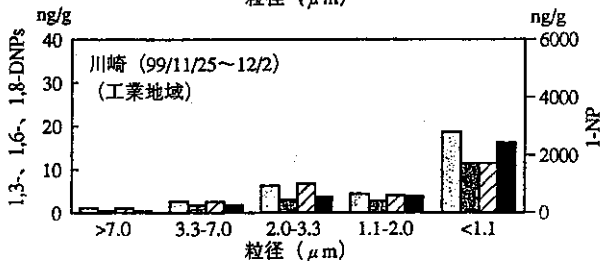
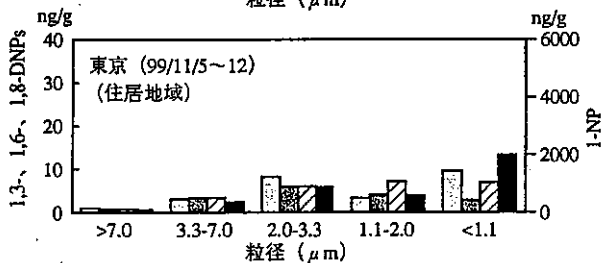
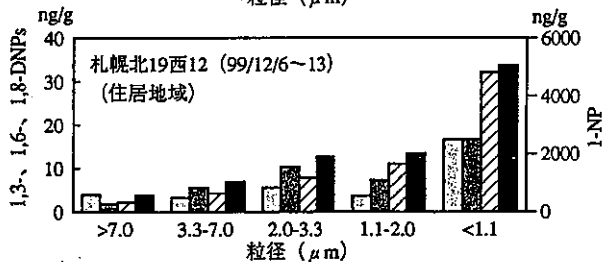
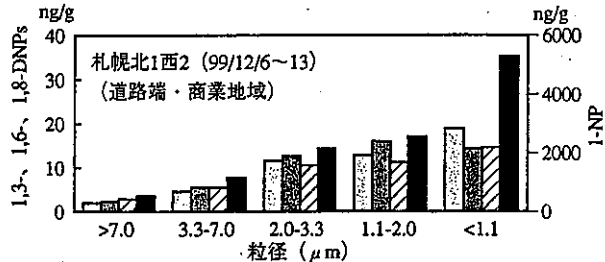


図1(2)

大気浮遊粒子に含まれるPAHの粒径分布
(川崎)



□ 1,3-DNP ■ 1,6-DNP ▨ 1,8-DNP ■ 1-NP

図2 大気浮遊粒子中のニトロアレーン (含量) の粒径分布

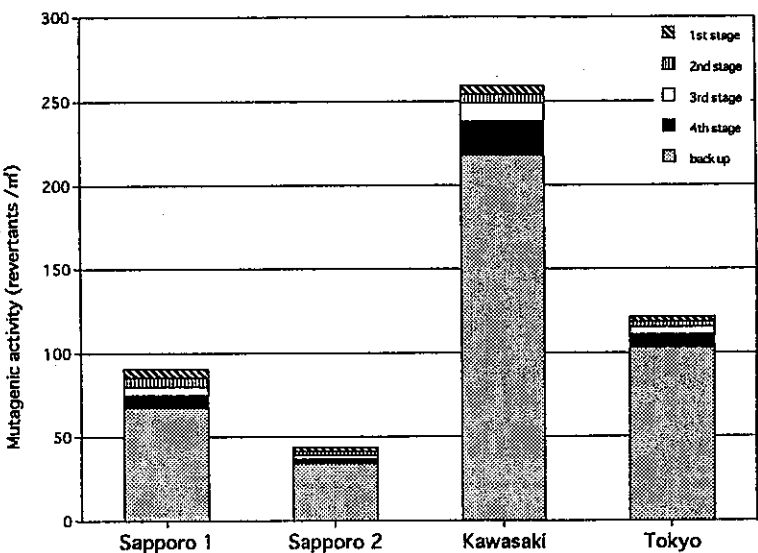


図3 地域別に採取したハイボリュームアンダーセンサンプラー試料の変異原性 (1999年)
YG1024, -S9mix : microsuspension法

アンプラーで捕集された共通試料中の重金属類元素 39 種類を
属元素の濃度は一般に川崎>東京>北海道の順に高いこと、ク

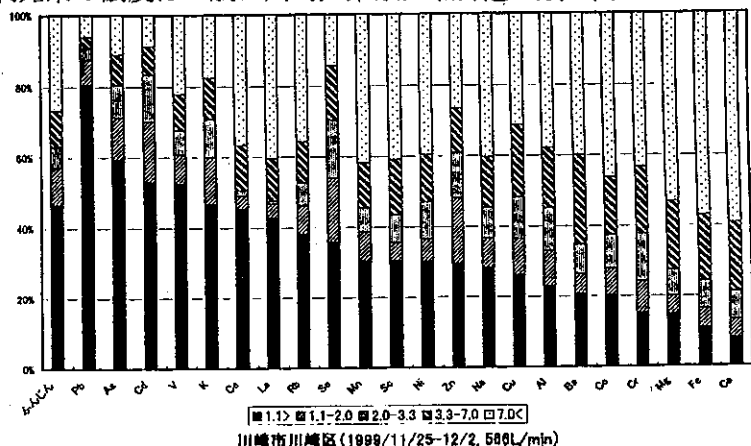


図4(1) 大気浮遊粒子に含まれる重金属元素の粒径分布 (川崎)

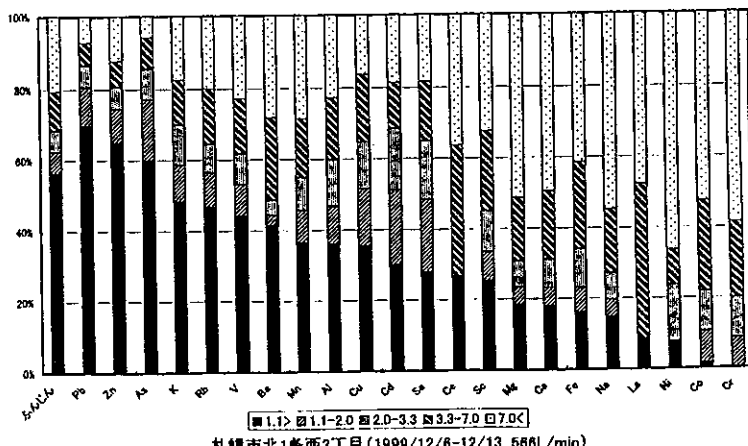


図4(2) 大気浮遊粒子に含まれる重金属元素の粒径分布 (札幌市商業地区)

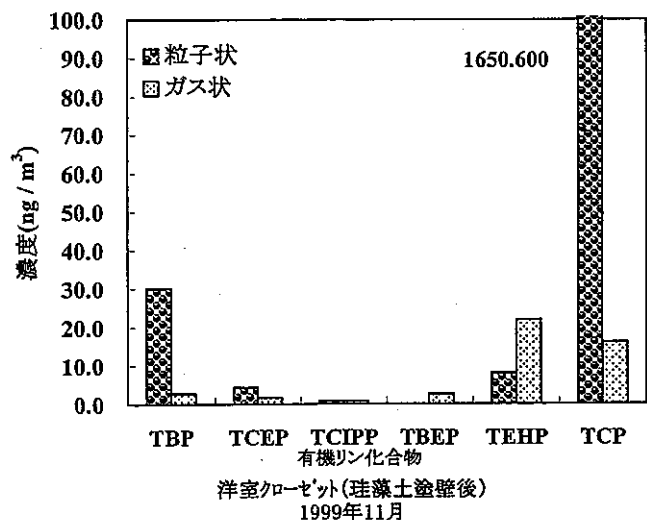
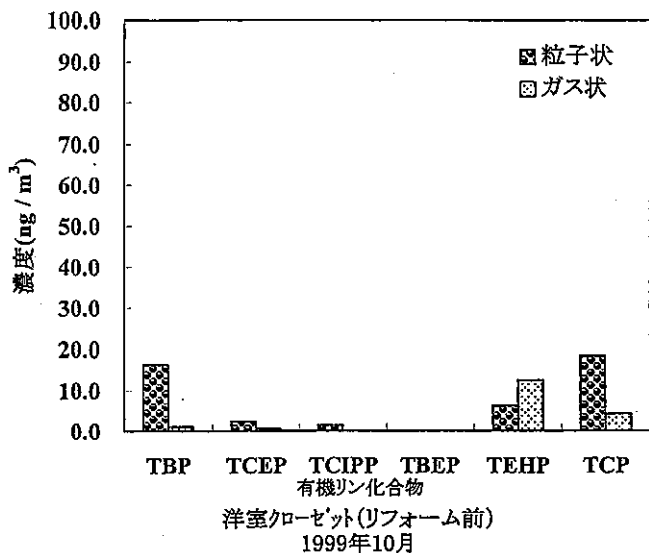
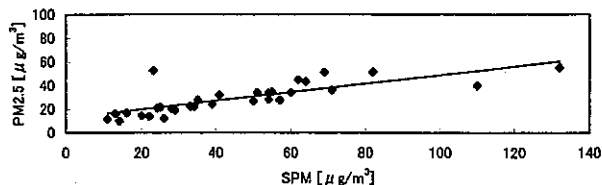


図5 一戸建て住宅における改築前後の有機リン化合物の測定結果

$$y = 0.3635x + 12.593$$

相関係数 $R=0.776$

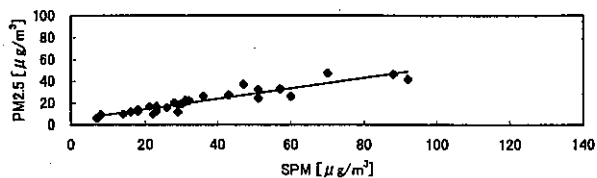
杉並 '99.3



$$y = 0.4812x + 4.5553$$

相関係数 $R=0.93$

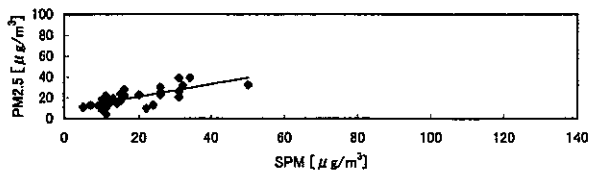
富田林 '99.3



$$y = 0.6103x + 8.7226$$

相関係数 $R=0.718$

君津 '99.3



$$y = 0.489x + 6.4799$$

相関係数 $R=0.828$

高萩 '99.3

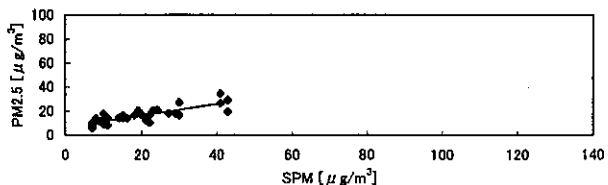


図6 PM2.5・SPM濃度の散布図 (99.3)